

Istraživanje magnetskog polja u Polarnom plamičku

Ina Galić

Prirodoslovno-matematički fakultet

Fizički odsjek

Mentor: dr. sc. Vibor Jelić

Uvod

Međuzvjezdana tvar

- Područje između zvijezda unutar galaksija
- Termalan plin (hladan, topao ili vruć; u ioniziranom, neutralnom ili molekularnom stanju) + kozmička prašina + visoko energetske kozmičke zrake + magnetska polja

Molekularni oblaci

- Hladne (oko 10 K) i guste (više od 10^2 čestica/cm³) strukture međuzvjezdane tvari
- Većim dijelom sastavljene od molekula vodika, a manjim od međuzvjezdane prašine



Istraživanje međuzvjezdane tvari

Sinkrotronsko zračenje i Faradayeva rotacija

- Mjera rotacije (eng. *rotation measure*, RM):

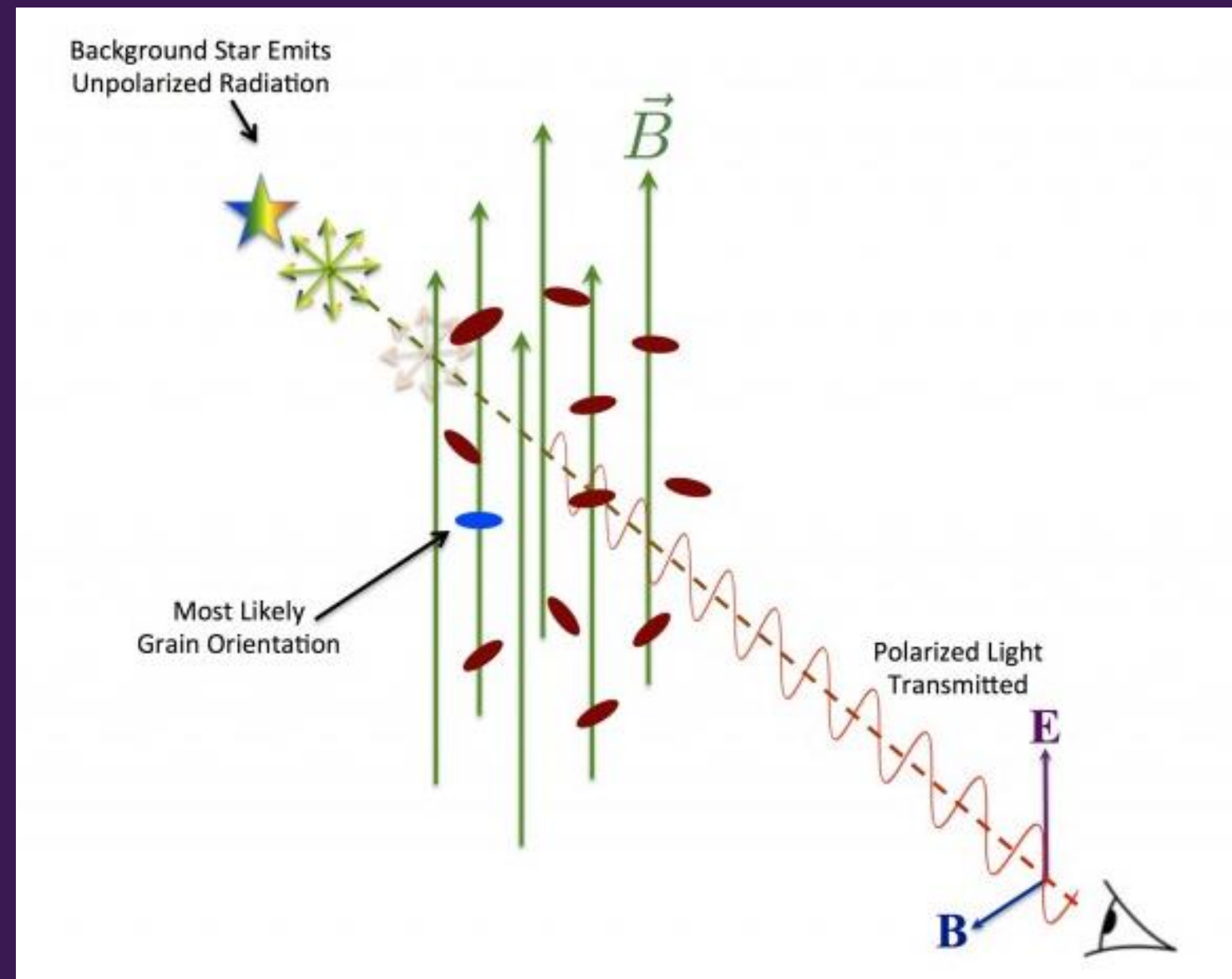
$$RM = \frac{d\chi(\lambda^2)}{d\lambda^2} = \Phi\lambda^2$$

- Faradayeva dubina:

$$\Phi = 0.81 \int_{izvor}^{opažač} n_e B_{\parallel} dl$$

Određivanje smjera magnetskog polja

1. Preko ekstinkcije svjetlosti zvijezda
2. Preko polariziranog termalnog zračenja



Izvor: PASIPHAE, Davis Geenstei

Podaci i metodologija

Polarni plamičak

- Molekularni oblak koji se nalazi u području sjevernog nebeskog pola
- Zviježđe: Ursa Minor
- Udaljenost: $\approx 109 - 390$ pc
($1 \text{ pc} \approx 3 \times 10^{16} \text{ m}$)
- Difuznog tipa:
 - atomski i molekularni plin
 - $\approx 3 - 100 M_{\odot}$
 - nekoliko parseka
 - nema stvaranja novih zvijezda



Podaci i metodologija

RoboPol

- Optički fotopolarimetar sa 4 kanala i bez pomičnih dijelova osim kotača s filterom
- Johnson-Cousins crveni i infracrveni filteri
- Montiran na 1.3 metarski f/7.7 Ritchey-Cretien teleskop u Skinakas opservatoriju na Kreti
- Vidno polje od $13' \times 13'$



Izvor: Skinakas opservatorij

Podaci i metodologija

RoboPol-ova promatranja

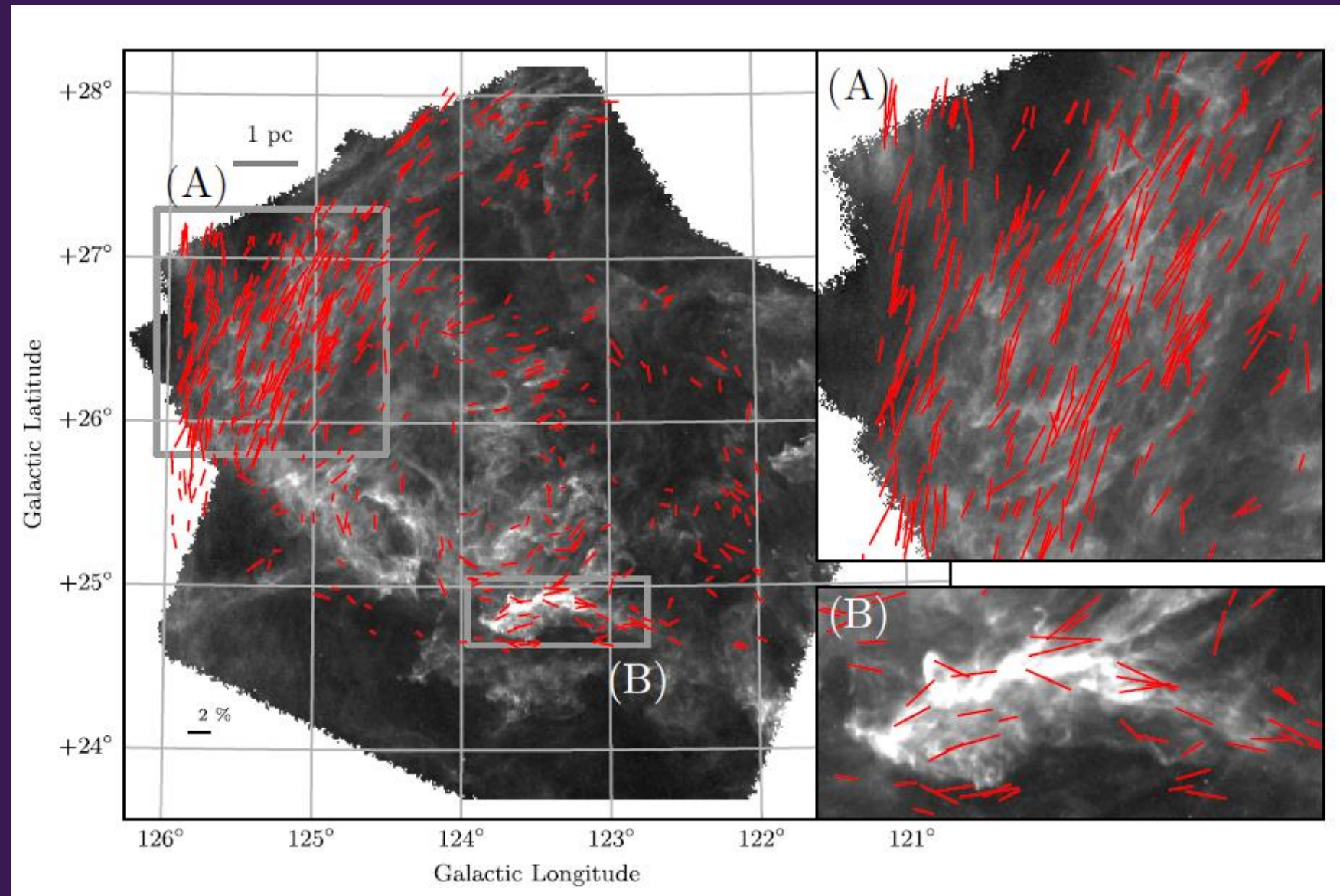
- Mapiranje magnetskog polja u međuzvjezdanim oblacima korištenjem ekstinkcije svjetlosti zvijezda
- Mjerenja optičke polarizacije zvijezda na $10^\circ \times 10^\circ$ području Polarnog plamička
- Napravljena koristeći crveni filter u 25 noći raspoređenih od kolovoza do studenog 2013. god.



Izvor: Skinakas opservatorij

Podaci i metodologija

Izvor:
Panopoulou et al., The magnetic
field and dust filaments in the
Polaris Flare, v. 462,
n. 2, p. 1517–1529, out. 2016



Podaci i metodologija

Radioteleskop LOFAR

- LOw-Frequency Array
- 20 000 antena i 52 stanice rasprostranjene diljem Europe
- $\approx 10 - 240$ MHz
- LBA (eng. *Low Band Antenna*): 30 - 80 MHz
- HBA (eng. *High Band Antenna*): 110 MHz - 240 MHz



Izvor: van Haarlem, M. P. et al. LOFAR: The LOw-Frequency ARray. , v. 556, p. A2, ago. 2013.

Podaci i metodologija

LOFAR-ova promatranja

- L182797
- Napravljena u HBA DUAL INNER konfiguraciji antena u prosincu 2011. na 115 - 180 MHz
- $\approx 9.9^\circ \times 9.9^\circ$ sa sjevernim nebeskim polom ($RA = 0^\circ$ i $Dec = 90^\circ$) u centru



Izvor: van Haarlem, M. P. et al. LOFAR: The LOw-Frequency ARray. , v. 556, p. A2, ago. 2013.

Podaci i metodologija

Sinteza mjere rotacije (eng. *RM synthesis*)

- Ukupni polarizacijski vektor:

$$P(\lambda^2) = Q + iU$$

- Kut polarizacije:

$$\chi = \frac{1}{2} \operatorname{tg}^{-1} \frac{U}{Q}$$

- „Fourierov transformat”:

$$F(\Phi) = \frac{1}{W(\lambda^2)} \int_{-\infty}^{\infty} P(\lambda^2) e^{-2i\Phi\lambda^2} d\lambda^2$$

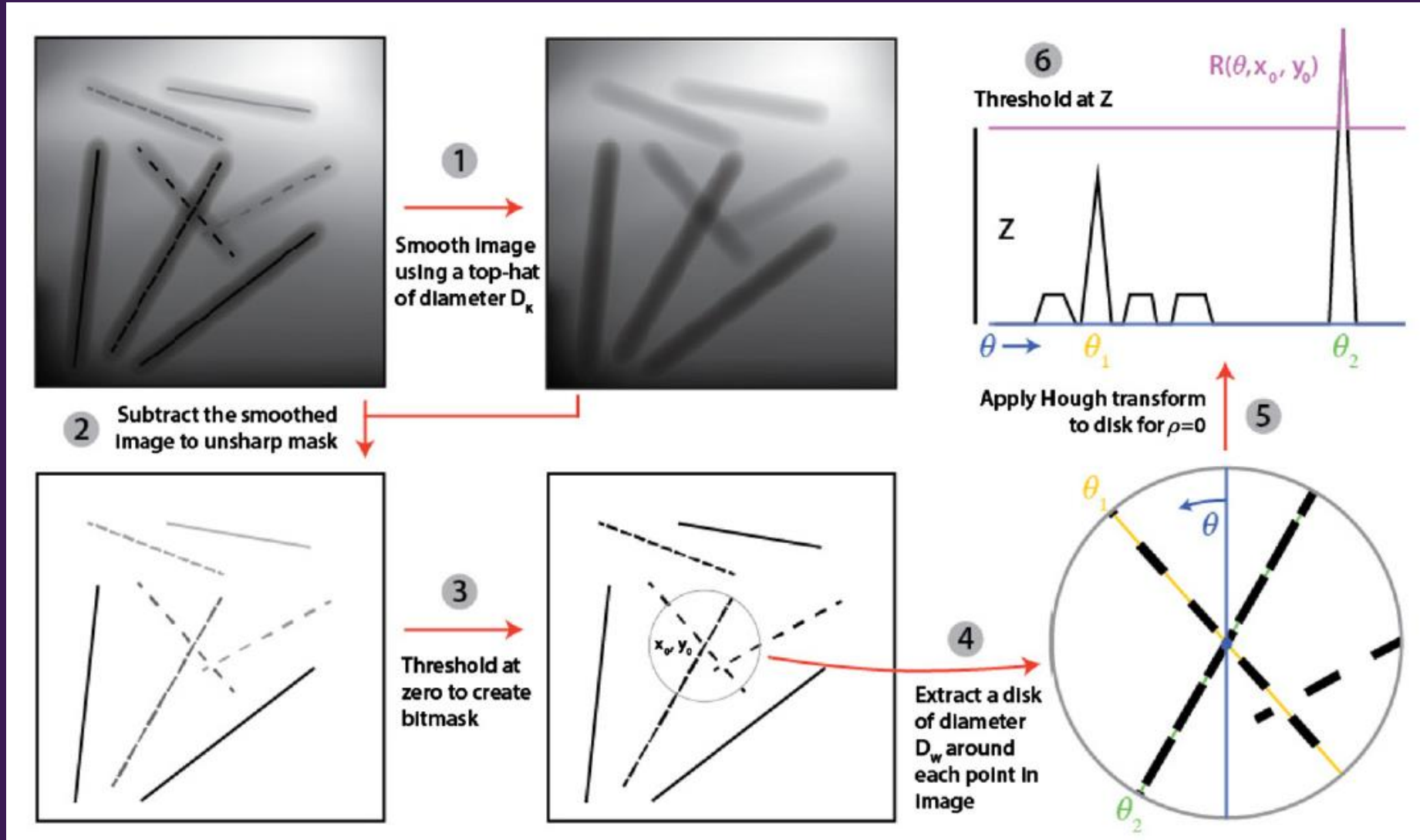
- Faraday P, Q i U kocke

Podaci i metodologija

Kotrljajući Hough transformat (eng. *Rolling Hough Transform*, RHT) algoritam

- Tri ulazna parametra:
 1. Promjer *smoothing kernela* D_k
 2. Promjer prozora (eng. *window diameter*) D_w
 3. Prag vjerojatnosti (eng. *probability threshold*) Z

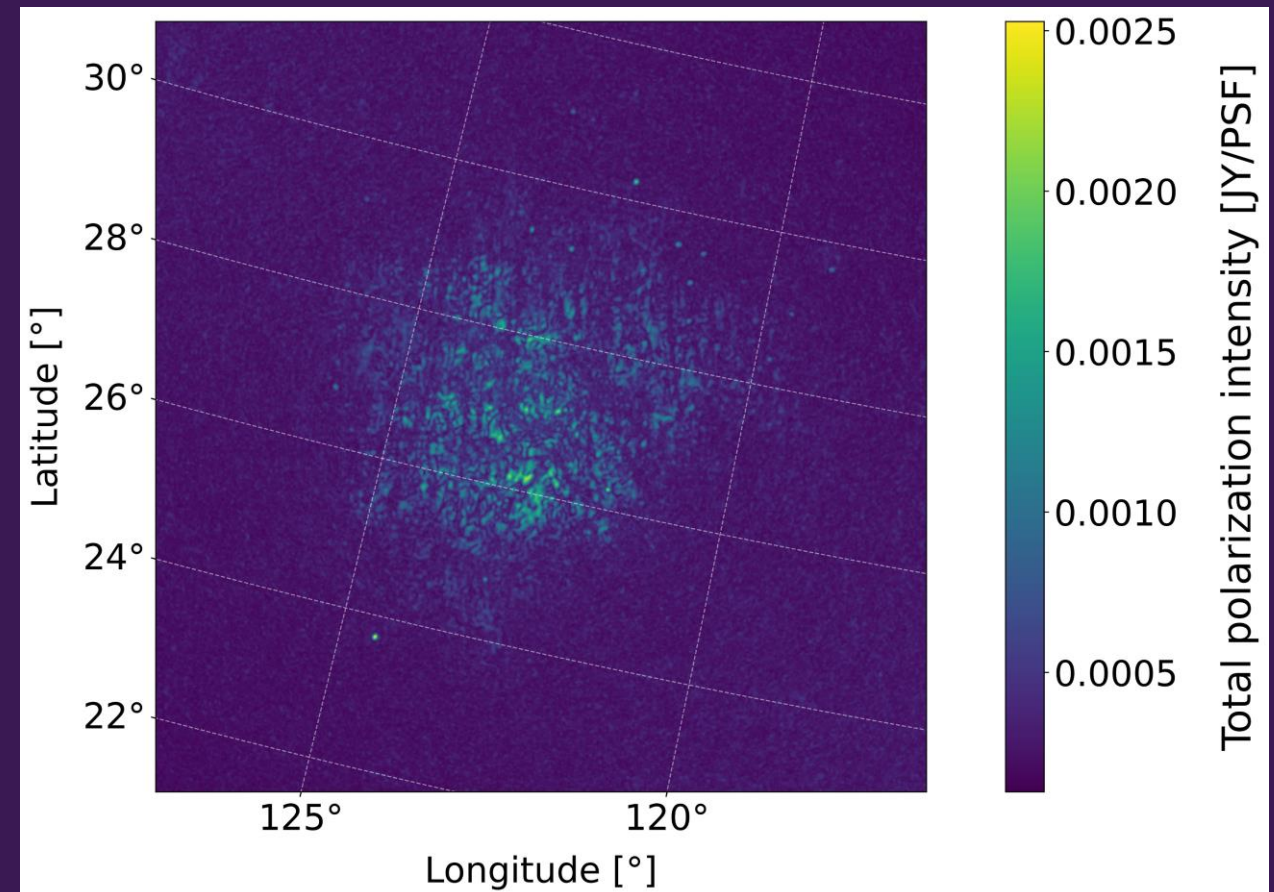
Podaci i metodologija



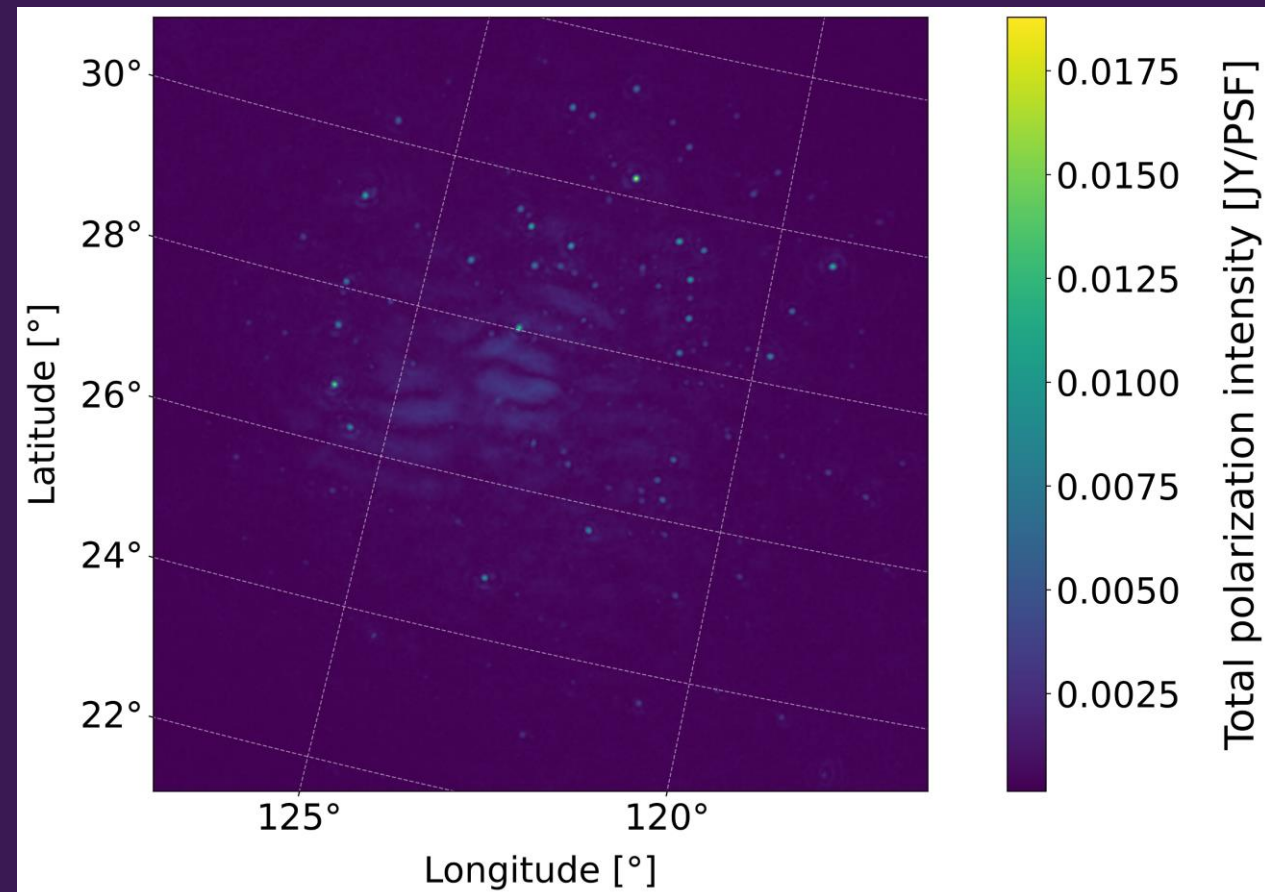
Izvor:
Clark et al., M. E. 2014, ApJ,
789, 82

Rezultati: RM sinteza

Grafovi maksimalnog ukupnog polariziranog intenziteta

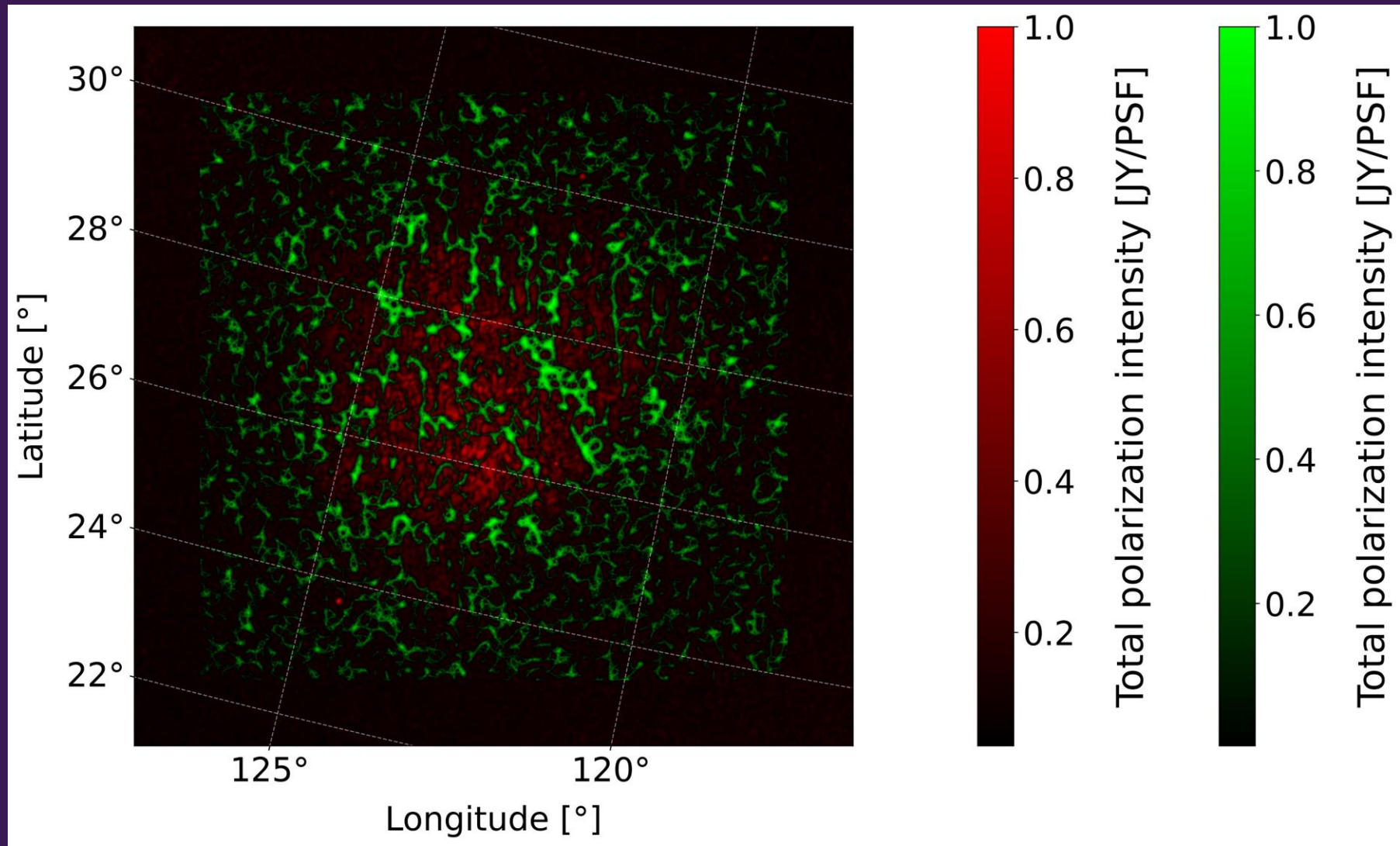


Faradayeve dubine: -50 to -5.75 rad m⁻²

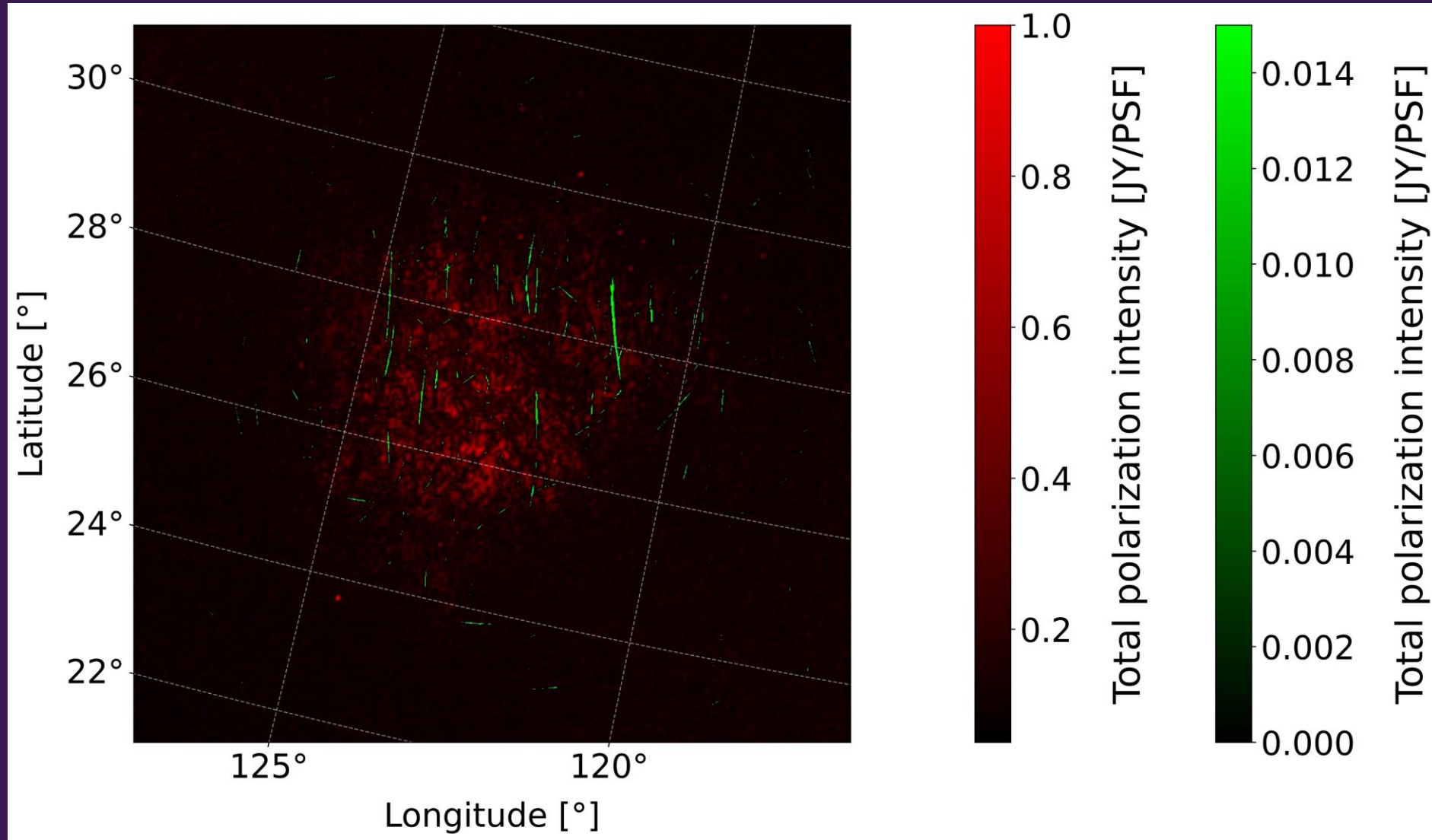


Faradayeve dubine: -5.75 to 50 rad m⁻²

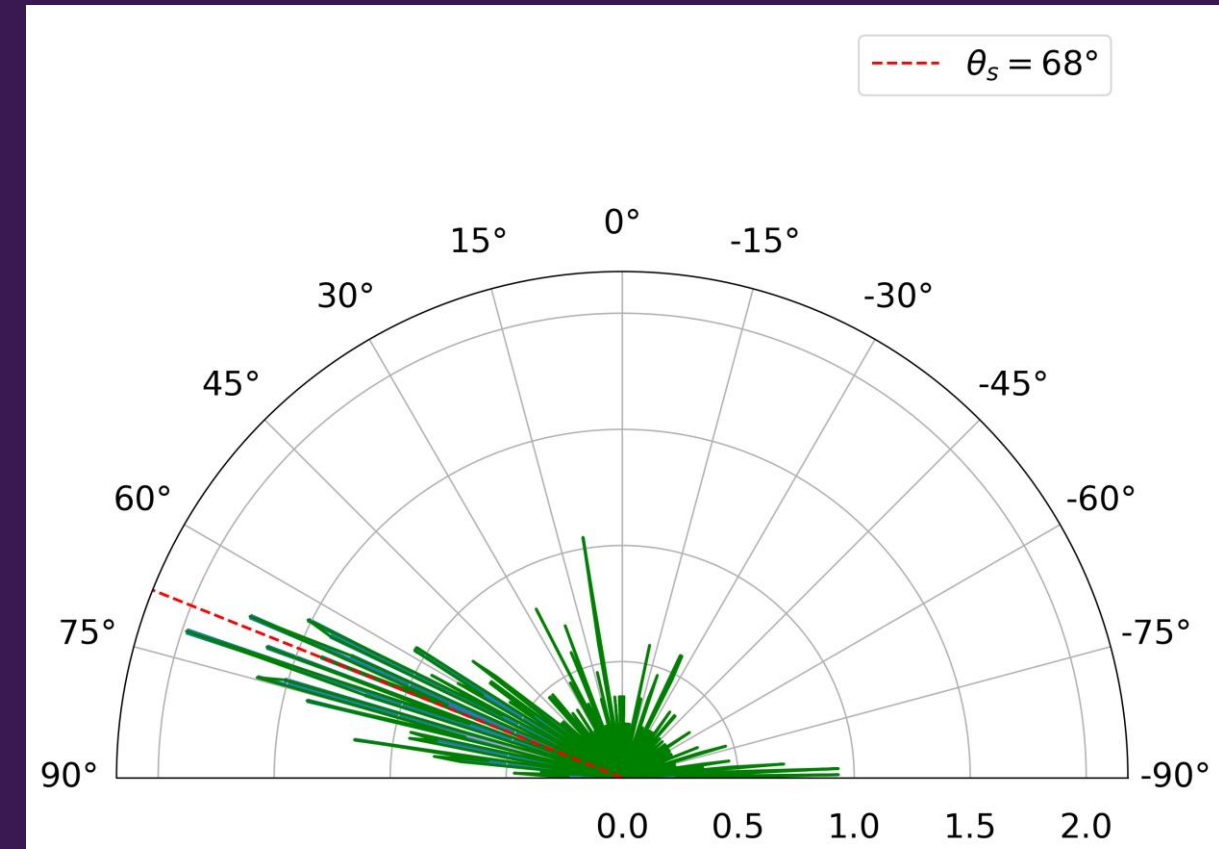
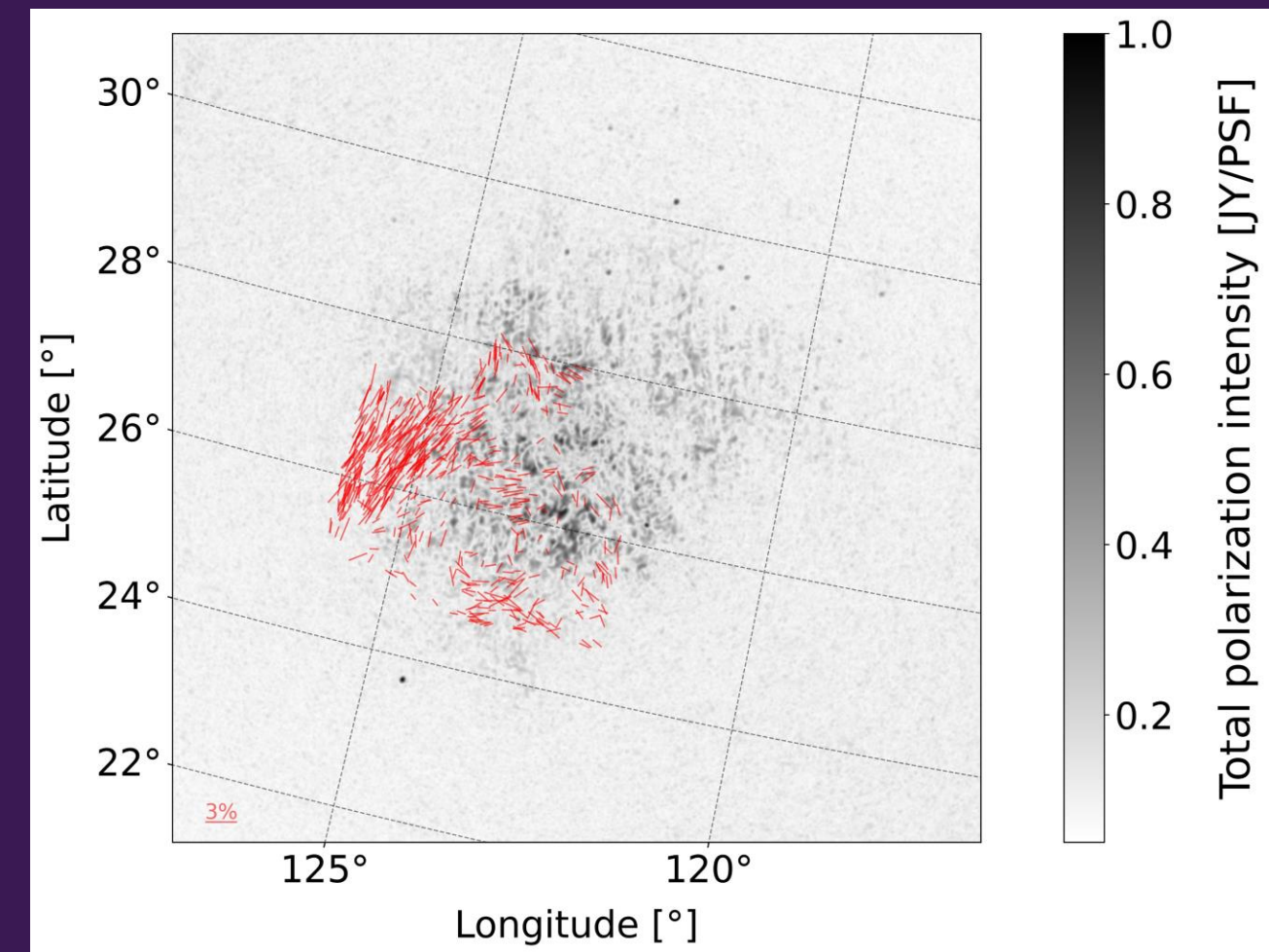
Rezultati: RHT analiza



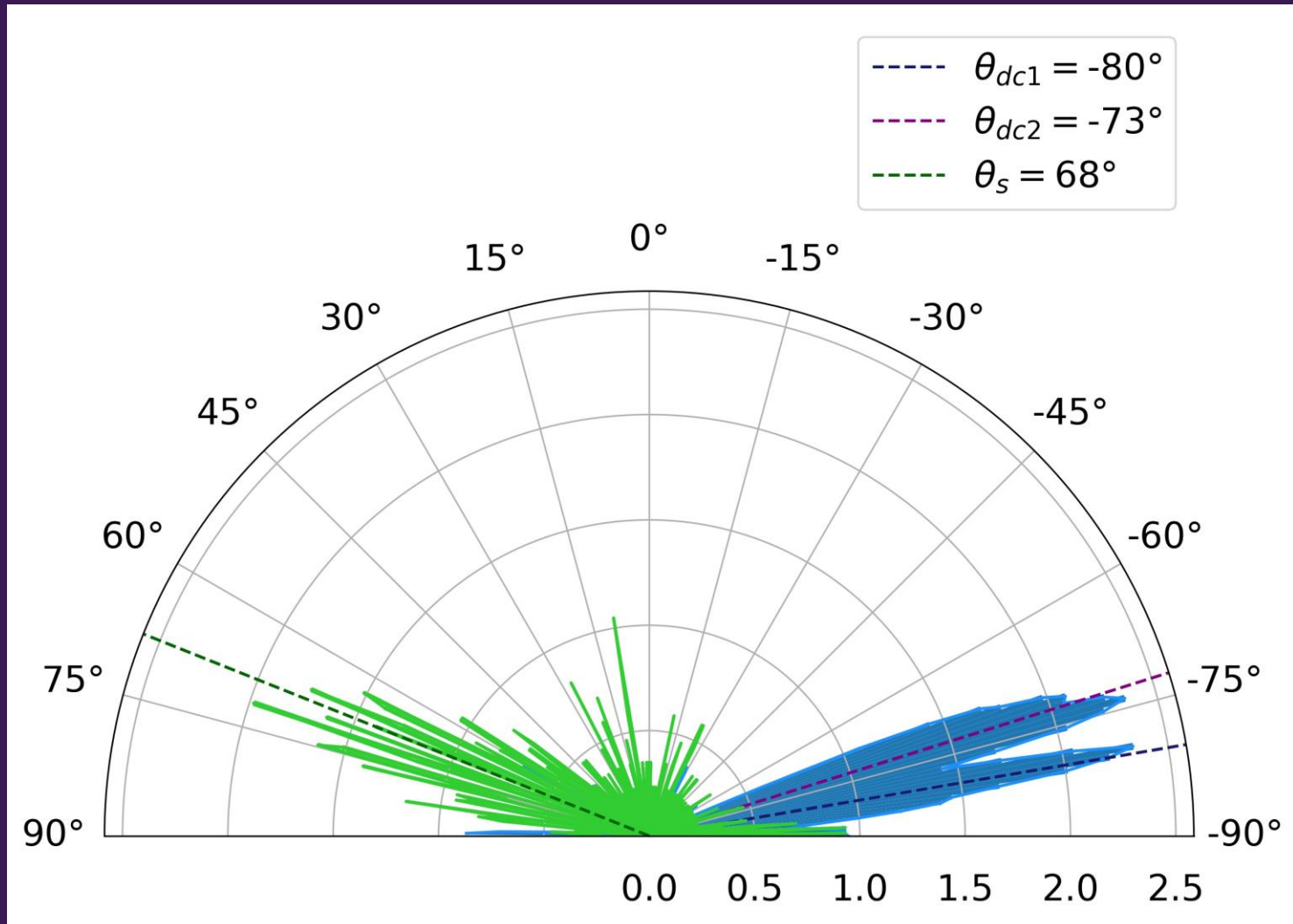
Rezultati: RHT analiza



Rezultati: Polarizacija zvjezdane svjetlosti



Konačni rezultati



Zaključak i diskusija

- Otkrivene tamne linearne strukture zvane depolarizirani kanali
- Dominantni smjerovi depolariziranih kanala se ne poklapaju sa polarizacijama svjetlosti zvijezda
- $\Theta_{dc1} = -80^\circ \pm 2^\circ$ i $\Theta_{dc2} = -73^\circ \pm 2^\circ$
- $\Theta_s = 68^\circ \pm 2^\circ$